Математическое и компьютерное моделирование

как метод исследования прыжковой проводимости манганитов $La_{0.5}Ca_{0.5}Mn_{1-x}Fe_xO_3$ (x = 0.6; 0.7; 0.8; 0.9)

В.С. Захвалинский, М.С. Козлова, Ю.С. Некрасова

Аннотация статье представлены результаты применения компьютерной программы, разработанной выявления механизмов для прыжковой проводимости легированных материалах, к исследованию электронных свойств манганитов La_{0.5}Ca_{0.5}Mn_{1-x}Fe_xO₃ (x = 0.6; 0.7; 0.8; 0.9). Программа апробирована на материалах La_{0.5}Ca_{0.5}Mn_{0.5}Fe_{0.5}O₃ La_{0.7}Ca_{0.3}Mn_{0.5}Fe_{0.5}O₃. Результаты её работы хорошо согласуются с данными, полученными ранее. результатам работы программы, для образца $La_{0.5}Ca_{0.5}Mn_{0.4}Fe_{0.6}O_3$ в нулевом магнитном поле имеет место прыжковая проводимость с переменной длиной прыжка (ПППДП) Мотта при температурах 170 – 300 К. В образце $La_{0.5}Ca_{0.5}Mn_{0.2}Fe_{0.8}O_3$ наблюдается ПППДП Шкловского-Эфроса при 70 -295 К и ПППДП Мотта в диапазоне 230 – 300 К. В поле величиной 1 Тл образец La_{0.5}Ca_{0.5}Mn_{0.4}Fe_{0.6}O₃ демонстрирует прыжковую проводимость ближайшим соседям и в адиабатическом, и в не адиабатическом режимах в интервале температур 130 – 170 К, а также ПППДП Шкловского-Эфроса при Т=200 – 300 К. В образцах La_{0.5}Ca_{0.5}Mn_{0.3}Fe_{0.7}O₃ и $La_{0.5}Ca_{0.5}Mn_{0.1}Fe_{0.9}O_3$ программа прыжковую проводимость не обнаружила.

Ключевые слова—манганиты, прыжковая проводимость, автоматизация процесса исследования.

Статья получена 12 июня 2025.

В.С. Захвалинский д. ф.-м. н. профессор, ведущий научный сотрудник лаборатории «Перспективных материалов и технологий» НИУ БелГУ, Россия, г. Белгород, ул. Победы, 85 (e-mail: v_z axval@mail.ru).

Некрасова Ю.С. – к. ф.-м. н., доцент кафедры высшей математики БГТУ им. В.Г. Шухова, Россия, Белгород, ул. Костюкова, 46 (e-mail: yulya_nekrasova@mail.ru).

Козлова М.С. – аспирант кафедры высшей математики БГТ У им. В.Г. Шухова, Россия, Белгород, ул. Костюкова, 46 (e-mail: margaret_36-37_@mail.ru).

Работа выполнена в рамках реализации федеральной программы поддержки университетов «Приоритет 2030» с использованием оборудования на базе центра высоких технологий БГТУ им. Шухова и лаборатории «Перспективных материалов и технологий» НИУ БелГУ.

I. Введение

Высокий ритм жизни и большие объёмы данных, получаемые при исследовании неупорядоченных систем, делают необходимым создание и применение различных компьютерных программ для расчёта физических величин, характеризующих свойства новых материалов.

Одними из ярчайших представителей таких материалов являются манганиты. Манганитам посвящено большое количество научных трудов, и интерес исследователей к этим материалам не угасает по сей день. Это связано с богатым набором физических и химических свойств, обусловливающих их широкое применение в науке и технике.

Сложность химического состава и микроструктуры функциональных материалов выдвигает на первый пла н проблему оптимизации их параметров для прикладных целей, которая отчасти связана с определением механизмов переноса носителей заряда. Поэтому исследование электрофизических свойств полупроводников и полупроводниковых структур с учетом их реальной микроструктуры является важной и актуальной задачей [1].

Одной из отличительных черт электронных свойств манганитов перовскитов является наличие прыжковой проводимости.

Прыжковая проводимость (прыжковый транспорт) — это способ переноса заряда в неупорядоченных твердотельных полупроводниках, происходящий за счёт перемещения носителей заряда между локализованными состояниями (энергетическими уровнями), которые пространственно разделены.

В процессе исследования электронных свойств манганитов лантана, легированных кальцием и железом, возникла идея создания программного кода для расчёта параметров, характеризующих тип прыжковой проводимости.

II. Объекты исследования

Исследуемые образцы $La_{0.5}Ca_{0.5}Mn_{1-x}Fe_xO_3$ (x=0.6; 0.7; 0.8; 0.9) получены методом стандартной твердофазной реакции. Для синтеза использовались исходные материалы La_2O_3 , MnO_2 , Fe_2O_3 и $CaCO_3$. Порошок La_2O_3 гигроскопичен и подвергался предварительному отжигу. Смеси порошков исходных

материалов отжигались на воздухе при температуре 1360 °C в течение 40 часов с промежуточным измельчением. Полученный порошок прессовался в таблетки под давлением 2000 кг / см², затем таблетки отжигались на воздухе при температуре 1500 °C в течение 22 часов. Распределение элементов как по объёму образца, так и в пределах отдельных зёрен однородно и соответствует стехиометрии образцов.

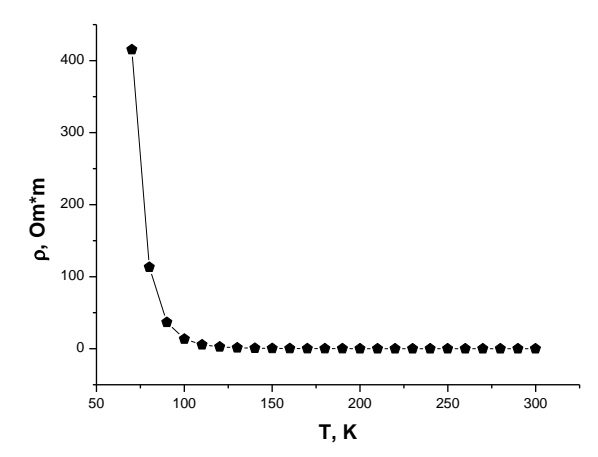


Рисунок 1. График температурной зависимости удельного сопротивления для образца $La_{0.5}Ca_{0.5}Mn_{0.2}Fe_{0.8}O_3$ в нулевом магнитном поле

Исследования температурной зависимости удельного сопротивления проводились в диапазоне температур $T=5-310~{\rm K}$ с использованием стандартной четырёхзондовой технологии в поперечном магнитном поле $(\overrightarrow{B} \perp \overrightarrow{j})$ величиной B=0 и 1 Тл, при повышении и понижении температуры [2,3]. Пример графика полученной температурной зависимости удельного сопротивления исследуемых образцов в нулевом магнитном поле представлен на рисунке 1.

III. МАТЕМАТИЧЕСКАЯ МОДЕЛЬ

Прыжковая проводимость твёрдых тел описывается универсальным выражением

$$\rho(T) = A \cdot T^m \cdot \exp\left(\left(\frac{T_0}{T}\right)^p\right), \quad (1)$$

где A — постоянная, T_0 — характеристическая температура. Температурная зависимость удельного сопротивления определяется степенью p в уравнении, значение которой, так же, как и значение степени m, связано с механизмом прыжковой проводимости.

Прологарифмируем обе части уравнения (1) и

выполним замену
$$z=\frac{1}{kT}$$

$$\ln \rho = \ln A + m \cdot \ln T + \left(\frac{T_0}{T}\right)^p$$

$$z=\frac{1}{kT} \to T = \frac{1}{kz} \to \frac{1}{T} = kz$$

$$\ln \rho = \ln A + m \cdot \ln \frac{1}{kz} + \left(T_0 kz\right)^p$$

Продифференцируем по z обе части полученного выражения

$$\frac{d(\ln \rho)}{dz} = \frac{d}{dz} \left(\ln A + m \cdot \ln \frac{1}{kz} + (T_0 kz)^p \right)$$
$$\frac{d(\ln \rho)}{dz} = \frac{d}{dz} \left(-m \cdot \ln(kz) \right) + (T_0 k)^p \cdot p \cdot z^{p-1}$$

$$\frac{d(\ln \rho)}{dz} = -\frac{m \cdot k}{k \cdot z} + (T_0 k)^p \cdot p \cdot \frac{z^p}{z}$$

Выполним обратную замену

$$\frac{d\left(\ln\rho\right)}{d\left(\frac{1}{kT}\right)} = -m \cdot k \cdot T + \left(T_0 k\right)^p \cdot p \cdot \frac{\left(\frac{1}{kT}\right)^p}{\frac{1}{kT}}$$

$$\frac{d\left(\ln\rho\right)}{d\left(\frac{1}{kT}\right)} = -m \cdot k \cdot T + \left(T_0 k\right)^p \cdot p \cdot \left(\frac{1}{kT}\right)^p \cdot k \cdot T$$

Правая часть полученного уравнения представляет собой энергию локализации носителей заряда

$$E_{loc} = \frac{d\left(\ln \rho\right)}{d\left(\frac{1}{kT}\right)}.$$
 (2)

$$E_{loc} = -m \cdot k \cdot T + (T_0 k)^p \cdot p \cdot \left(\frac{1}{kT}\right)^p \cdot k \cdot T$$

Разделим обе части уравнения на kT

$$\frac{E_{loc}}{k \cdot T} = -m + (T_0 k)^p \cdot p \cdot \left(\frac{1}{kT}\right)^p$$

$$\frac{E_{loc}}{k \cdot T} + m = (T_0 k)^p \cdot p \cdot (kT)^{-p}$$

$$\frac{E_{loc}}{k \cdot T} + m = p \cdot \left(\frac{T_0 k}{kT}\right)^p$$

Прологарифмировав обе части полученного уравнения, получим выражение, линейное относительно логарифма температуры

$$\ln\left(\frac{E_{loc}}{k \cdot T} + m\right) = \ln p + p \cdot \ln T_0 - p \cdot \ln T$$

$$\ln\left(\frac{E_{loc}}{k \cdot T} + m\right) = \ln p + p \cdot \ln T_0 + p \cdot \ln \frac{1}{T}$$
 (3)

Таким образом, параметр р представляет собой угол наклона прямой, описываемой уравнением (3) [4].

IV. КОМПЬЮТЕРНАЯ ПРОГРАММА

Программа для расчёта параметров прыжковой проводимости [5] основана на математической модели, описанной выше. Она позволяет вычислить пары значений (m, p), характеризующих тип прыжковой проводимости, а также значение энергии локализации носителей заряда E_{loc} и характеристическую температуру T_0 в соответствующем температурном диапазоне. Вводными данными является измеренная температурная зависимость удельного сопротивления образца. При разработке программы производная в уравнении (2) была заменена разностным отношением. Программный код написан на языке на языке PascalABC.Net.

Авторы программы заведомо отказались от применения метода наименьших квадратов, чтобы избежать усреднения и учесть вклад каждой точки температурной зависимости удельного сопротивления для каждого образца.

Для апробации программы на способность выявлять механизмы прыжковой проводимости были взяты образцы манганитов $La_{0.5}Ca_{0.5}Mn_{0.5}Fe_{0.5}O_3$ и $La_{0.7}Ca_{0.3}Mn_{0.5}Fe_{0.5}O_3$ [3]. Результаты её работы хорошо согласуются с результатами, полученными ранее в работах [2,7].

V. РЕЗУЛЬТАТЫ И ОБСУЖДЕНИЕ

Различают следующие типы прыжковой проводимости: прыжковая проводимость по ближайшим соседям (ППБС) и прыжковая проводимость с переменной длиной прыжка (ПППДП). Оба типа могут протекать в двух режимах — в адиабатическом и не адиабатическом. Для ППБС m=1, p=1 в адиабатическом режиме и $m=\frac{3}{2}$, p=1 — в неадиабатическом.

ПППДП проходит по механизму Мотта ($m=\frac{25}{4}$, $p=\frac{1}{4}$ или $m=\frac{21}{4}$, $p=\frac{1}{4}$) и по механизму Шкловского-Эфроса ($m=\frac{9}{2}$, $p=\frac{1}{2}$ или $m=\frac{5}{2}$, $p=\frac{1}{2}$) [4,8].

Рассмотрим поведение температурной зависимости удельного сопротивления исследуемых образцов в нулевом магнитном поле.

Согласно результатам работы программы [5], для образца $\text{La}_{0.5}\text{Ca}_{0.5}\text{Mn}_{0.4}\text{Fe}_{0.6}\text{O}_3$ имеет место ПППДП Мотта в температурном диапазоне 250-300 K со значениями параметров $m=-\frac{3}{4}$, $p=\frac{1}{4}$ и $m=\frac{1}{4}$, $p=\frac{1}{4}$ и при 170-250 K — со значениями $m=\frac{21}{4}$, $p=\frac{1}{4}$ и $m=\frac{25}{4}$, $p=\frac{1}{4}$ (рис. 2).

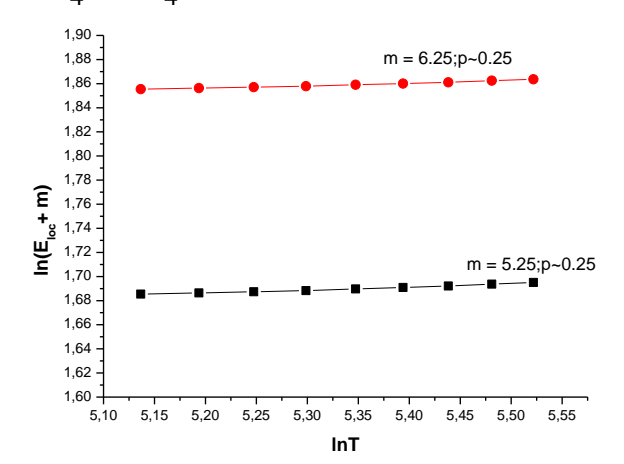


Рисунок 2. График температурной зависимости энергии локализации в логарифмических координатах для образца $La_{0.5}Ca_{0.5}Mn_{0.4}Fe_{0.6}O_3$ в интервале температур $170-250~\mathrm{K}.$

В образце La_{0.5}Ca_{0.5}Mn_{0.2}Fe_{0.8}O₃ наблюдается ПППДП Шкловского-Эфроса со значениями параметров $m = \frac{1}{2}$, $p = \frac{1}{2}$ при температурах 85 – 295 K, а также $m = \frac{5}{2}$, $p = \frac{1}{2}$ и $m = \frac{9}{2}$, $p = \frac{1}{2}$ в интервале 70 – 190 К. Кроме того, в диапазоне 230 - 300 К наблюдается ПППДП Мотта с параметрами $m = \frac{21}{4}$, $p = \frac{1}{4}$ и $m = \frac{25}{4}$, $La_{0.5}Ca_{0.5}Mn_{0.3}Fe_{0.7}O_3$ образцах $La_{0.5}Ca_{0.5}Mn_{0.1}Fe_{0.9}O_3$ прыжковая проводимость программой обнаружена. Значения характеристической температуры для соответствующих режимов приведены в таблице І (обозначение образцов в таблицах соответствует уровню легирования кальцием и железом, например, $La_{0.5}Ca_{0.5}Mn_{0.3}Fe_{0.7}O_3 - 0507$ и т.д.).

Таблица I – Зна чения характеристической темпера туры для различных режимов прыжковой проводимости

7,171 F	для разли нивіх режимов прыжковой проводимости							
№	Образец	В, Тл	T, K	m	T_0, K			
1.	0506	0	250 – 300	- 0.75	$4,03 \cdot 10^7$			
				0.25	$3,27 \cdot 10^8$			
			170 – 250	5.25	$2,87 \cdot 10^{10}$			
				6.25	$2,06\cdot 10^{11}$			
		1	130 – 170	1	$2,49 \cdot 10^3$			
				1.5	$3,01 \cdot 10^3$			
			245 – 295	0.5	$1,38 \cdot 10^5$			
			200 – 300	4.5	$3,64 \cdot 10^6$			
2.	0508	0	85 – 295	0.5	$3,63 \cdot 10^4$			
			70 – 190	2.5	$2,12 \cdot 10^5$			
				4.5	$7,103 \cdot 10^6$			
			230 – 300	5.25	$2,504 \cdot 10^7$			
				6.25	$1,02 \cdot 10^8$			

В поле величиной 1 Тл образец $\text{La}_{0.5}\text{Ca}_{0.5}\text{Mn}_{0.4}\text{Fe}_{0.6}\text{O}_3$ демонстрирует ППБС и в адиабатическом, и в не адиабатическом режимах в интервале температур 130-170 K, а также ПППДП Шкловского-Эфроса с параметрами $m=\frac{1}{2}$, $p=\frac{1}{2}$ при

T=245 – 295 К и
$$m = \frac{9}{2}$$
, $p = \frac{1}{2}$ при T=200 – 300 К.

Параметры р и m связаны выражением $m=8-p\left(7+q\right)$, где q —параметр, описывающий волновую функцию локализованных электронов. К примеру, в температурном интервале 70-190 К для значений $m=\frac{5}{2}$, $p=\frac{1}{2}$ параметр q=4, и волновая функция локализованных носителей заряда имеет форму

$$\psi_1(\mathbf{r}) \Box \frac{1}{r} e^{-\frac{r}{a}}$$
, а для значений $m = \frac{9}{2}$, $p = \frac{1}{2}$ параметр

q=0, и имеет место волновая функция $\psi_2({f r}) \,\square\,\, e^{-a}$ [8.9].

Наличие электронов, описываемых волновыми функциями двух типов, наводит на мысль о формировании двуямных потенциалов внутри кристаллической решётки исследуемых образцов [10].

Средние значения энергии локализации носителей заряда в исследуемых образцах приведены в таблице II.

Таблица II — Значения энергии локализации носителей заряда в исследуемых образцах при различных внешних условиях

No	Образец	Температура, К	Поле, Тл	Энергия локализации, эВ
1.	0506	115 – 295	0	0,1702
			1	0,1940
2.	0507	35 – 295	0	0,1035
			1	0,1029
3.	0508	45 - 295	0	0,0954
		25 – 296	1	0,0895
4.	0509	95 – 295	0	0,0816
			1	0,0817
		10-95	0	- 0,0026
			1	-0,0034

Из таблицы II видно, что энергия локализации электронов уменьшается с увеличением концентрации железа, и при девяностопроцентном легировании в низкотемпературном диапазоне принимает отрицательные значения, что может быть связано с нарушением двойного обмена между ионами Mn³+ и Mn⁴+, образованием бесконечного кластера и возникновением фазовых переходов второго рода.

VI. ЗАКЛЮЧЕНИЕ

На примере манганитов перовскитов $La_{0.5}Ca_{0.5}Mn_{1-x}Fe_xO_3$ ($x=0.6;\ 0.7;\ 0.8;\ 0.9$) показана работа компьютерной программы для определения параметров прыжковой проводимости.

Данная программа позволяет определить температурные интервалы c прыжковой проводимостью, вычислить пары значений параметров (m, p), соответствующих тому или иному типу проводимости, и значения прыжковой энергии локализации носителей заряда и характеристической температуры.

Программный код выявил наличие конкурирующих механизмов в одном и том же температурном диапазоне, что даёт представление о качественном проводимости или свидетельствует формировании двуямных кристаллической потенциалов внутри решётки исследуемых образцов.

Описанная программа выявила уменьшение энергии локализации электронов с увеличением концентрации И образце железа наличие $La_{0.5}Ca_{0.5}Mn_{0.1}Fe_{0.9}O_3$ отрицательных значений диапазоне 10 - 95 К, что связано с нарушением двойного обмена между ионами Mn^{3+} и Mn^{4+} и может свидетельствовать об образовании бесконечного кластера и возникновении фазовых переходов второго рода.

Библиография

- [1] Галеева А.В. Исследование проводимости полупрово дниковых структур методомимпедансной спектроскопии [Текст]: автореф. дис. ... канд. физ.- мат. наук: 01.04.10 / Галеева Александра Викторовна. М., 2011. 23 с. URL: https://www.dissercat.com/content/issledovanie-provodimosti-poluprovodnikovykh-struktur-metodom-impedansnoi-spektroskopii/read
- [2] Таран, С.В. Электропроводность и магнитные свойства манганитов перовскитов $LA_{0.5}CA_{0.5}MN_{0.5}FE_{0.5}O_3$ и $LA_{0.7}CA_{0.3}MN_{0.5}FE_{0.5}O_3$: ДИС. . . . КАНД. ФИЗ.- МАТ. НАУК: 01.04.07 / Таран Сергей Викторович. Белгород, 2017.-146 С.
- [3] Некрасова, Ю.С. Исследование магнитных свойств и механизмов электропроводности образцов $La_{1-x}Sr_xMn_{1-y}Fe_yO_3$ (x=0.3; $y=0.15,\ 0.20,\ 0.25$) // дис. ... канд. физ.- мат. наук : 01.04.07 / Некрасова Юлия Сергеевна. Белгород, 2012.-125 с.
- [4] Zakhvalinskii V.S. Variable-range Hopping Conductivity of La₁. xSr xMn_{1-y}Fe_yO₃ / Zakhvalinskii V.S., Lashkul A.V., Lisu nov K.G., Lähderanta E., Nekrasova Yu.S., Laiho R., Stamov V.N., Petrenko P.A. // Journal of Physics: Condensed Matter. − 2011. −T. 23. − № 1. − C. 015802. URL: https://www.researchgate.net/publication/231102390_Variable-range_hopping_conductivity_of_La1_-xSrxMn1_-yFeyO3
- [5] «Программа расчёта параметров прыжковой проводимости»: свидетельство о государственной регистрации прогр. для ЭВМ № 2024685520, Российская Федерация / М.С. Козлова, Ю.С. Некрасова, В.С. Захвалинский; правообладатель М.С. Козлова. Зарегистрировано в Реестре программ для ЭВМ 3 0.10.2024. URL: https://onlinepatent.ru/software/2024685520/
- [6] Козлова, М.С. Автоматизация процесса выявления механ измо в прыжковой проводимости в неупорядоченных системах / М.С. Козлова, Ю.С. Некрасова // Молодёжный вестник Новороссийского филиала Белгородского государственного технологического университета им. В. Г. Шухова. 2023. Т. 3. № 3 (11). С. 148-152. URL: https://rio-nb-bstu.science/ojs/index.php/vestnik-molod/issue/view/12/14
- [7] Dang N.T. Crystal Structure, Magnetic Properties and Conductivity Mechanisms of La_{0.7}Ca_{0.3}Mn_{0.5}Fe_{0.5}O₃/Dang N.T., Zakhvalins kii V.S., Nekrasova Y.S., Taran S.V., Kozlenko D.P., Kichanov S.E., Savenko B.N., Phan T.L., Thang T.T., Thanh T.D., Khiem L.H., Jabarov S.G. // Ferroelectrics. – 2016. – T. 501. – № 1. – C. 129-144.
- [8] Mott, N. F. Electron Processes in Non-Crystalline Materials / N. F. Mott and E.A. Davies. – Oxford: Clarendon, 1979;
- [9] Шкловский, Б.И. Теория протекания и проводимость сильно неоднородных сред [Текст]/ Б.И. Шкловский, А.Л. Эфрос//УФН. 1975. Т. 117. Вып. 3. URL: https://ufn.ru/ufn75/ufn75_11/Russian/r7511a.pdf
- [10] Выборнов Е.В. Математическое обоснование расщепления спектра и билокализации состояний при координатном и импульсном туннелировании в одномерных квантовых системах // дис. ... канд. физ.- мат. наук: 01.01.03 / Выборнов Евгений Викторович. —М., 2015. 120 с. URL: https://www.hse.ru/data/2015/02/17/1092168615/dis.pdf

Mathematical and Computer Modeling as a Method for Studying the Hopping Conductivity of Manganites La_{0.5}Ca_{0.5}Mn_{1-x}Fe_xO₃ (x = 0.6; 0.7; 0.8; 0.9)

V.S. Zakhvalinskii, M.S. Kozlova, Yu.S. Nekrasova

Abstract— The article presents the results of applying a computer program created to identify the mechanisms of hopping conductivity in the doped materials to the study of the electronic properties of manganites $La_{0.5}Ca_{0.5}Mn_{1-x}Fe_xO_3$ (x = 0.6; 0.7; 0.8; 0.9). Previously, the program code was tested on the materials $La_{0.5}Ca_{0.5}Mn_{0.5}Fe_{0.5}O_3, La_{0.7}Ca_{0.3}Mn_{0.5}Fe_{0.5}O_3$. The results of its work are in good agreement with the data obtained earlier. According to the results of the program, for the sample La_{0.5}Ca_{0.5}Mn_{0.4}Fe_{0.6}O₃ in a zero field the Mott variable range hopping conductivity (VRH) temperatures of 170-300 K is observed. In the La_{0.5}Ca_{0.5}Mn_{0.2}Fe_{0.8}O₃ sample, the Shklovsky-Efros VRH is observed at 70-295 K and the Mott VRH in the range of 230-300 K. In a field of 1 Tl, the La_{0.5}Ca_{0.5}Mn_{0.4}Fe_{0.6}O₃ sample demonstrates the hopping conductivity over the nearest neighbors in both adiabatic and non-adiabatic regimes in the temperature range of 130-170 K, as well as the Shklovsky-Efros VRH at T=200-300 K. The program did not detect the hopping conductivity in the samples $La_{0.5}Ca_{0.5}Mn_{0.3}Fe_{0.7}O_3$ $La_{0.5}Ca_{0.5}Mn_{0.1}Fe_{0.9}O_3.$

Keywords— manganites, hopping conductivity, automation of the research process.

REFERENCES

- [1] [1] Galeeva A.V. Investigation of the conductivity of semiconductor structures by the method of impedance spectroscopy [Text]: abstract of the dissertation. ... PhD in Physics. Mathematical sciences: 04/01/10/Galeeva Alexandra Viktorovna. M., 2011. 23 p. URL: https://www.dissercat.com/content/issledovanie-provodimosti-poluprovodnikovykh-struktur-metodom-impedansnoi-spektroskopii/read
- [2] [2] Taran, S.V. Electrical conductivity and magnetic properties of manganites of perovskites La0.5Ca0.5Mn0.5Fe0.5O3 and La0.7Ca0.3Mn0.5Fe0.5O3: dis.... PhD in Physics.- math. Sciences: 04/01/07/Taran Sergey Viktorovich. Belgorod, 2017. 146 P.
- [3] Nekrasova, Yu.S. Investigation of the magnetic properties and mechanisms of electrical conductivity of La1-xSrxMn1-yFeyO3 (x = 0.3; y = 0.15, 0.20, 0.25) samples // dis.... PhD in Physics. Math. sciences: 04/01/07 / Nekrasova Julia Sergeevna. Belgor od, 2012. 125 p.
- [4] Zakhvalinskii V.S. Variable-range Hopping Conductivity of La1xSrxMn1-yFeyO3/Zakhvalinskii V.S., Lashkul A.V., Lisunov K.G., Lähderanta E., Nekrasova Yu.S., Laiho R., Stamov V.N., Petrenk o

- P.A. // Journal of Physics: Condensed Matter. 2011. Vol. 23. No. 1. S. 015802. URL: https://www.researchgate.net/publication/231102390_Variable-range_hopping_conductivity_of_La1_-_xSrxMn1_-_yFeyO3
- [5] "Program for calculation the hopping conductivity parameters": certificate of state registration of computer software No. 2024685520, Russian Federation / M.S. Kozlova, Yu.S. Nekrasova, V.S. Zakhvalinskii; copyright holder M.S. Kozlova. Registered in the Register of Computer Programs on 10/30/2024. URL: https://onlinepatent.ru/software/2024685520/
- [6] [6] Kozlova, M.S. Automation of the process of detecting hopping conductivity mechanisms in disordered systems / M.S. Kozlova, Yu.S. Nekrasova// Youth Bulletin of the Novorossiysk branch of the Belgorod State Technological University named after V. G. Shukhov. 2023. Vol. 3. No. 3 (11). pp. 148-152. URL: https://rio-nb-bstu.science/ojs/index.php/vestnik-molod/issue/view/12/14
- [7] Dang N.T. Crystal Structure, Magnetic Properties and Conductivity Mechanisms of La0.7Ca0.3Mn0.5Fe0.5O3 / Dang N.T., Zakhvalinskii V.S., Nekrasova Y.S., Taran S.V., Kozlenko D.P., Kichanov S.E., Savenko B.N., Phan T.L., Thang T.T., Thanh T.D., Khiem L.H., Jabarov S.G.//Ferroelectrics. – 2016. – Vol. 501. – No. 1. – pp. 129-144.
- [8] Mott, N. F. Electron Processes in Non-Crystalline Materials / N.F. Mott and E.A. Davies. – Oxford: Clarendon, 1979.
- [9] Shklovsky, B.I. The percolation theory and conductivity of strongly inhomogeneous media [Text]/ B.I. Shklovsky, A.L. Efros//UFN. 1975. Vol. 117. Issue 3. URL: https://ufn.ru/ufn75/ufn75_11/ufn7511a.pdf
 [10] Vybornov E.V. Mathematical substantiation of spectrum splitting and bilocalization of states during coordinate and pulse tunneling in one-dimensional quantum systems.... PhD in Physics.-Mathematical sciences: 01.01.03 / Vybomov Evgeny Viktorovich. M., 2015. 120 p. URL: https://www.hse.ru/data/2015/02/17/1092168615/dis.pdf

Manuscript received on the 12-th of June 2025.

V.S. Zachvalinsky, Ph.D., Professor, Leading Researcher at the Laboratory of Advanced Materials and Technologies of the National Research University of Belarus, 85 Pobedy St., Belgorod, Russia (e-mail: v_zaxval@mail.ru)

Yu.S. Nekrasova, Ph.D., Associate Professor of the Department of Higher Mathematics at BSTU.46 Kostyukova St., Belgorod, Russia, Shukhov (e-mail: yulya_nekrasova@mail.ru).

M.S. Kozlova, a postgraduate student at the Department of Higher Mathematics of the BSTU named after V.G. Shukhov, 46 Kostyukova str., Belgorod, Russia (e-mail: margaret_36-37_@mail.ru).

This work was realized in the framework of the Program "Priority 2030" on the base of the Belgorod State Technological University named after V.G. Shukhov High Technology Center.